

三辺単純支持で一辺が自由の圧縮板の極限強度について

大阪大学工学部 正員 小松定夫
 大阪大学工学部 正員 北田俊行
 大阪大学大学院 学生員 ○宮崎清司

1 まえがき 薄肉板要素で構成される圧縮部材は、その部材全体の不安定現象を考慮するのみならず、部材を構成する各要素の局部座屈を防止せねばならない。そこで本研究は、補剛材および無補剛フランジなどの自由突出部を対象とし、それらを3辺単純支持1辺自由の境界条件で理想化し、かつ残留応力と初期たわみの両者を同時に有する場合の極限性状を、弾塑性有限変形問題として、有限要素法により、解析した。

2 解析法 部分的線形化の仮定により変位増分を算定し、その算定には、増分前の変形状態を平面の三角形要素で近似し、2次以上の剛性行列の項を省略した。D.W. Murray, E.L. Wilson の考え方へ従い、移動座標を巧妙に使った。この変位増分より剛体変形を除去し、その正味の変位に対して、微小変形理論を適用することにより、不均衡力の算定を行う⁽¹⁾。すなわち、変形状態における節点力、変形による応力、ひずみ、正味の変位、および残留応力を、それぞれ f_I , σ_I , ε_I , u_I , および σ_{rI} とする。仮想変位の原理より、真の節点力は、

$$f_I + \Delta f_I = \int A_I \{ \sigma_I + \Delta \sigma_I + \sigma_{rI} \} dV \quad (1)$$

$$\therefore \Delta f_I = A_I \Delta u_I$$

Δ は各増分量を示す。

全体座標へ変換し、集成すれば、

$$F_{I+1} = F_I + \Delta F_I = \bar{F}_I + F_{I+1} + K_I \Delta u_I \quad (2)$$

ここに

$$F_{r,I} = \sum T_I^T \int A_I \sigma_{rI} dV$$

$$\bar{F}_I = \sum T_I^T \int A_I \sigma_I dV$$

T_I : 座標変換行列

従って、外力を P_{I+1} とすれば、不均衡力

ΔP は次のように求まる。

$$\Delta P = P_{I+1} + F_{r,I} - \bar{F}_I \quad (3)$$

ここに

$$F_{r,I} = \sum T_I^T \int A_I \sigma_{rI} dV$$

この不均衡力は、外力の補正項として考慮する。ここで $F_{r,I}$ は、初期たわみを有する板を平面要素で近似したために残留応力によつて生ずる、モデル化によつて導入される仮想力である。

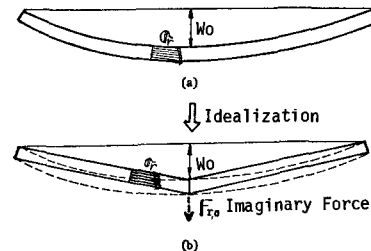
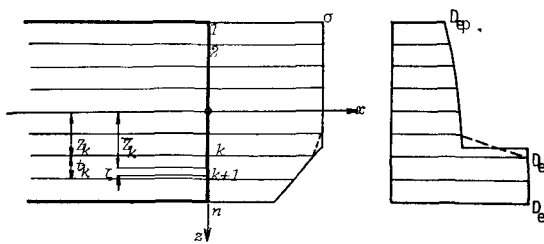
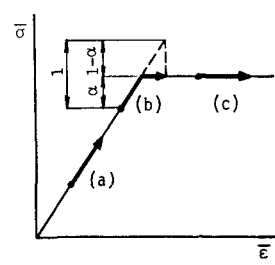


Fig. 1

Fig. 2 Assumed Distribution of σ , D Fig. 3 $\bar{\sigma}-\bar{\epsilon}$ Curve

(Fig. 1)

塑性応力-ひずみ行列

D_p は、Zienkiewiczや山田の考え方によれば求めた。剛性行列の計算時に必要な D のみ方向の積分は、要素を層割りし、各層内では応力分布および D の分布は直線分布する(Fig. 2)と仮定した。

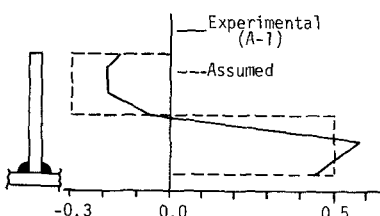


Fig. 4 Distribution of Residual Stress

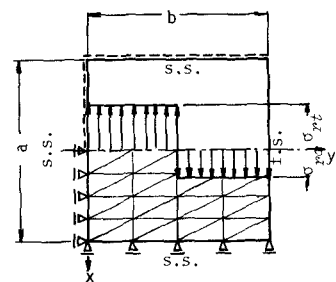


Fig. 5 Element Idealization for Analysis

$$\int D d\sigma = \sum_{e=1}^n (D_{e,1} + D_e)/2$$

$$\int \int D d\sigma = \sum_{e=1}^n \left[\frac{1}{2} D_{e,1} t_e (D_{e,1} + D_e) + (D_{e,1} - D_e) \frac{t_e^2}{2} \right]$$

$$\int \int^2 D d\sigma = \sum_{e=1}^n \left[\frac{1}{2} (D_{e,1} + D_e) (\frac{t_e^2}{2} + t_e^2/2) t_e + \frac{1}{6} (D_{e,1} - D_e) \frac{3}{2} t_e t_e^2 \right]$$

$$D_e = \begin{cases} D_{e,e} & \text{(弾性, Strain Reversal) (a)} \\ \alpha D_{e,e} + (1-\alpha) D_{e,p} & \text{(弾性} \rightarrow \text{塑性) (b)} \\ D_{e,p} & \text{(塑性) (c)} \end{cases}$$

$$\alpha = (\text{降伏までに至るまでの歪増分}) / (\text{全歪増分})$$

③ 解析例と考察 補剛材つき圧縮板の補剛材を対象として解析した。初期たわみは、 W_0 幅 \times 高さ t と仮定した。最大荷重に至ってからも追跡が可能なように、各荷重増分段階において圧縮刃の変位増分を Input した。実測データによれば、補剛材においては引張残留応力が大きく、補剛材のみを考えれば自己平衡な分布をしていない。そこで安全側を考えて Fig. 4 の破線のような矩形分布を仮定する。平均圧縮応力と最大たわみの関係を Fig. 6 に示す。残留応力が存在すると、平均応力の最大値は増加するが、板の剛性は低下する。残留応力と初期たわみが平均応力の最大値 $\bar{\sigma}_{max}$ におよぼす影響を、Fig. 7 に示す。初期たわみが、 $\bar{\sigma}_{max}$ におよぼす影響は大きい。また残留応力は引張力の方が大きいため、 $\bar{\sigma}_{max}$ は増加するが、その分だけ補剛材がとりつけられていらば板に負担がかかると思われる。

[参考文献]

- (1) 小松北田：「有限要素法による板のたわみ解析」，58年度関西支部年講
- (2) 小松北尾他：「補剛材を有する圧縮板の極限強度に関する実験的研究」，59年度全国年次講演会 I-127
- (3) 小松北田宮崎：「残留応力および初期たわみを有する圧縮板の極限強度」，自上 I-126

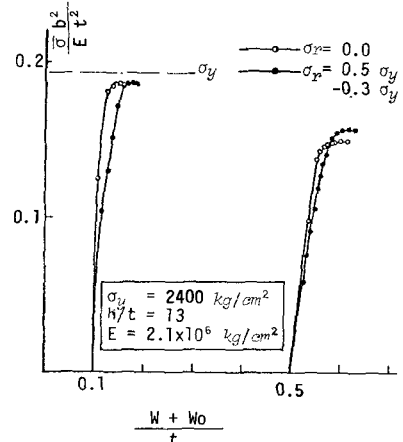


Fig. 6 Mean Load vs. Center Deflection

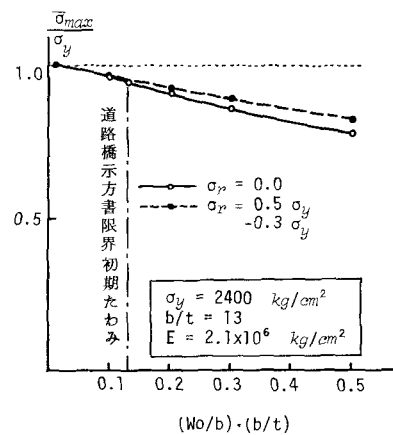


Fig. 7 Ultimate Load vs. Initial Deflection